

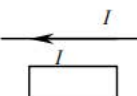
电磁感应 (1)

1. 长直导线载有电流 I , 并以 dI/dt 的变化率增长, 一矩形线圈

位于导线平面内(如图), 则:

[B]

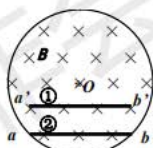
- A 线圈中无感应电流.
- B 线圈中感应电流为顺时针方向.
- C 线圈中感应电流为逆时针方向.
- D 线圈中感应电流方向不确定.



2. 在圆柱形空间内有一均匀磁场, 如图所示, 磁感强度以速率 dB/dt 变化. 两根长度相同的导体棒分别如图放置, 则在①、②这两个位置导体棒内的感应电动势为

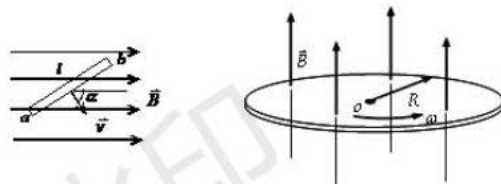
[B]

- A $E_2 = E_1 \neq 0$.
- B $E_2 > E_1$.
- C $E_2 < E_1$.
- D $E_2 = E_1 = 0$.



3. 半径为 a 的无限长密绕螺线管, 单位长度上的匝数为 n , 通以交变电流 $i = I_m \sin \omega t$, 则螺线管外半径为 r 的同轴圆形回路上的感生电动势为 $\pi a^2 \mu_0 n I_m \omega \cos \omega t$.

4. 如下图, 长度为 l 的直导线 ab 在均匀磁场 \vec{B} 中以速度 \vec{v} 移动, 直导线 ab 中的电动势为 Blv .



5. 如上图, 半径为 R 圆铜盘水平放置在均匀磁场中, B 的方向垂直盘面向上, 当铜盘绕通过中心垂直于盘面的轴沿图示方向转动时, 铜盘上感应电动势的大小 $\frac{1}{2}BR^2\omega$, 方向为沿半径向外.

6. 将形状完全相同的铜环和木环静止放置, 并使通过两环面的磁通量随时间的变化率相等, 则不计自感时则: 铜环中感应电动势 等于 木环中感应电动势(选填: 大于、小于、等于).

7. 如图所示, 两条平行长直导线和一个矩形导线框共面。且导线框的一个边与长直导线平行, 它到无限长直导线的距离为 r 。已知长直导线中电流为 $I = I_0 \sin \omega t$, 其中 I_0 和 ω 为常数, t 为时间。导线框长为 a 宽为 b , 求导线框中的感应电动势。

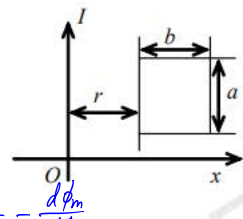
$$B = \frac{\mu_0 I_0 \sin \omega t}{2\pi r}$$

$$\phi_m = \int \vec{B} \cdot d\vec{s} = \int \frac{\mu_0 I_0 \sin \omega t}{2\pi r} adr$$

$$\phi_{m1} = \frac{\mu_0 I_0 a}{2\pi} \sin \omega t \ln \frac{r+b}{r_1}$$

$$\phi_{m2} = \frac{\mu_0 I_0 a}{2\pi} \sin \omega t \ln \frac{r_2+b}{r_2}$$

$$\begin{aligned}\phi_m &= \phi_{m1} + \phi_{m2} \\ &= \frac{\mu_0 I_0 a}{2\pi} \sin \omega t \left(\ln \frac{r+b}{r_1} + \ln \frac{r_2+b}{r_2} \right)\end{aligned}$$



$$E = - \frac{d\phi_m}{dt}$$

$$= - \frac{\mu_0 I_0 a R \omega}{2\pi} \cos \omega t \left(\ln \left(1 + \frac{b}{r_1} \right) + \ln \left(1 + \frac{b}{r_2} \right) \right)$$

8. 载有电流的 I 长直导线附近, 一根弯成半径为 b 的半圆环导线 MeN 与长直导线共面, 且端点 MN 的连线与长直导线垂直。半圆环圆心 O 与导线相距 a 。设半圆环以速度 \bar{v} 平行导线运动, 求半圆环动生电动势的大小和方向。

$$\begin{aligned}E &= \int (\vec{v} \times \vec{B}) \cdot d\vec{l} \\ &= \int v \cdot \frac{\mu_0 I}{2\pi r} (-\hat{e}_x) \cdot d\vec{l} \\ &= \int_0^\pi v \frac{\mu_0 I}{2\pi (a+R \cos \theta)} \sin \theta R d\theta \\ &= - \frac{\mu_0 I v R}{2\pi} \ln(a+R \cos \theta) \Big|_{\theta=0}^{\theta=\pi} \\ &= - \frac{\mu_0 I v R}{2\pi} \ln \frac{a-R}{a+R} = \frac{\mu_0 I v R}{2\pi} \ln \frac{a+R}{a-R}\end{aligned}$$

9. 如图所示, 一根长为 L 的金属细杆 ab 绕竖直轴 O_1O_2 以角速度 ω 在水平面内旋转。 O_1O_2 在离细 a 端 $L/3$ 处。若已知地磁场的竖直方向分量为 \bar{B} , 求电势差 $U_a - U_b$ 。

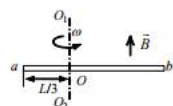
$$\begin{aligned}dE &= (\vec{v} \times \vec{B}) \cdot d\vec{l} \\ &= B w r dr\end{aligned}$$

$$E = \int B w r dr$$

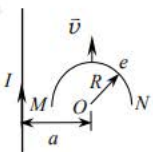
$$\text{所以 } U_{a0} = \int_0^{\frac{L}{3}} B w r dr = \frac{1}{2} B w \left(\frac{L}{3}\right)^2$$

$$U_{b0} = \int_{\frac{2L}{3}}^L B w r dr = \frac{1}{2} B w \left(\frac{2L}{3}\right)^2$$

$$U_a - U_b = -\frac{1}{6} B w L^2$$



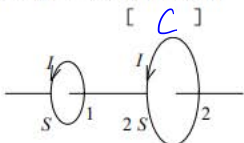
10. 思考题: 在法拉第电磁感应定律中, 负号的意义是什么? 如何根据负号来确定感应电动势的方向?



电磁感应 (II)

1. 面积为 S 和 $2S$ 的两圆线圈 1、2 如图放置，通有相同的电流 I 。线圈 1 的电流所产生的通过线圈 2 的磁通量 Φ_{12} 表示，线圈 2 的电流所产生的通过线圈 1 的磁通量 Φ_{21} 表示，则 Φ_{21} 和 Φ_{12} 的大小关系为：

- A $\Phi_{21}=2\Phi_{12}$.
- B $\Phi_{21}>\Phi_{12}$.
- C $\Phi_{21}=\Phi_{12}$.
- D $\Phi_{21}=\frac{1}{2}\Phi_{12}$.



2. 一个电阻为 R ，自感系数为 L 的线圈，将它接在一个电动势为 $E(t)$ 的交变电源上，线圈的自感电动势为 $E_L = -L \frac{dI}{dt}$ ，则流过线圈的电流为：

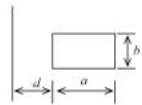
- A $E(t)/R$
- B $[E(t)-E_L]/R$
- C $[E(t)+E_L]/R$
- D E_L/R

3. 两个相邻的平面圆线圈开始时共轴，且两圆线圈平面相互平行，如何可使其互感系数近似为零
- A 两线圈的轴线互相平行放置；
 - B 两线圈并联；
 - C 两线圈的轴线互相垂直放置；
 - D 两线圈串联。

4. 无限长密绕直螺线管通以电流 I ，内部充满均匀、各向同性的磁介质，磁导率为 μ 。管上单位长度绕有 n 匝导线，则管内部的磁能密度为 $\frac{1}{2} \mu n^2 I^2$ ；若该螺线管体积为 V ，则其自感系数为 $\mu n^2 V$ 。

5. 真空中两只长直螺线管 1 和 2，长度相等，单层密绕匝数相同，截面积之比 $S_1/S_2=1/16$ 。当它们通以相同电流时，两螺线管自感系数之比 $L_1/L_2=1/16$ ，贮存的磁能之比 $W_1/W_2=1/16$ 。

6. 一长直导线旁有一长为 b ，宽为 a 的矩形线圈，线圈与导线共面，长度为 b 的边与导线平行且与直导线相距为 d ，如图。线圈与导线的互感系数 $M=\frac{\mu b}{2\pi} \ln \frac{d+a}{d}$ 。



7. 一螺绕环单位长度上的线圈匝数 n ，环心材料的磁导率为 $\mu=\mu_0$ 。若线圈中磁场的能量密度为 w_m ，线圈中的电流强度 $I=\frac{1}{n} \sqrt{\frac{2w_m}{\mu_0}}$ 。

8. 同轴电缆内导体的外半径为 R_1 , 外导体是半径为 R_2 的薄导体同轴圆筒: 内外导体之间充满了相对磁导率为 μ , 各向同性均匀磁介质。当电流 I 由内导体经无穷远又从外导体返回时, 求单位长度电缆的磁场能量。

由安培环路定理求出 B

$$B \cdot 2\pi r = \mu I$$

$$B = \frac{\mu I}{2\pi r}$$

$$W_m = \frac{B^2}{2\mu} = \frac{\mu I^2}{8\pi^2 r^2}$$

$$W_m = \int W_m dV = \int_{R_1}^{R_2} \frac{\mu I^2}{8\pi^2 r^2} \cdot 2\pi r dr = \frac{\mu I^2}{4\pi} \ln \frac{R_2}{R_1}$$

9. 如图所示, 一半径为 r_2 的导体圆环通以电流 $I = I_0 \sin(\omega t)$, 里边有一半径为 r_1 总电阻为 R 的导体环, 两环共面同心 ($r_2 >> r_1$), 求小环中的感应电流。

环形电流中心的磁场

$$\begin{aligned} B &= \frac{\mu_0}{4\pi} \int \frac{I dl \times \hat{r}_r}{r^2} \\ &= \frac{\mu_0}{4\pi} \frac{I \cdot 2\pi r_2}{r^2} \\ &= \frac{1}{2} \frac{\mu_0 I}{r_2} \end{aligned}$$

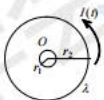
$$\text{感应电动势 } \Sigma = - \frac{d\phi_m}{dt}$$

$$\phi_m = B \cdot \pi r_1^2 = \frac{1}{2} \frac{\mu_0 I}{r_2} \pi r_1^2$$

$$\Sigma = - \frac{1}{2} \frac{\mu_0}{r_2} \pi r_1^2 I_0 \omega \cos \omega t$$

感应电流

$$i = \frac{\Sigma}{R} = - \frac{\mu_0 \pi r_1^2 I_0 \omega}{2 r_2 R} \cos \omega t$$



10. 一无限长直导线通有电流 $I = I_0 \cos \omega t$ (其中 I_0 、 ω 均为常量), 和长直导线同一平面内有一矩形导线线圈, 线圈的一边与直导线平行 (如图), 试求 (1) 直导线与导线线圈之间的互感系数; (2) 线圈中的互感电动势。

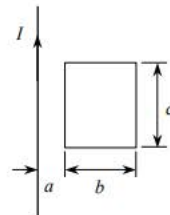
$$B = \frac{\mu_0 I}{2\pi x}$$

$$\begin{aligned} \phi_m &= \int B \cdot ds \\ &= \int_a^{a+b} \frac{\mu_0 I}{2\pi x} C \cdot dx \\ &= \frac{\mu_0 I C}{2\pi} \ln \frac{a+b}{a} \end{aligned}$$

互感系数

$$M = \frac{\phi_m}{I} = \frac{\mu_0 C}{2\pi} \ln \frac{a+b}{a}$$

$$\Sigma = -M \frac{dI}{dt} = \frac{\mu_0 C}{2\pi} \ln \frac{a+b}{a} I_0 \omega S_p \cos \omega t$$



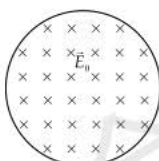
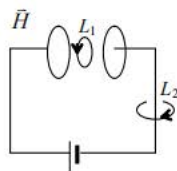
11. 思考题: 当我们把条形磁铁沿铜质圆环的轴线插入铜环中时, 铜环中有感应电流和感应电场吗? 如用塑料圆环替代铜质圆环, 环中仍有感应电流和感应电场吗?

电磁感应 (III)

1. 如图, 平板电容器(忽略边缘效应)充电时, 沿环路 L_1 的磁场强度 \vec{H} 的环流与沿环路 L_2 的磁场强度 \vec{H} 的环流两者, 必有:

[C]

- A $\oint_{L_1} \vec{H} \cdot d\vec{l}' > \oint_{L_2} \vec{H} \cdot d\vec{l}'$; B $\oint_{L_1} \vec{H} \cdot d\vec{l}' = \oint_{L_2} \vec{H} \cdot d\vec{l}'$;
 C $\oint_{L_1} \vec{H} \cdot d\vec{l}' < \oint_{L_2} \vec{H} \cdot d\vec{l}'$; D $\oint_{L_1} \vec{H} \cdot d\vec{l}' = 0$.



2. 如图所示, 圆柱形空间(视为真空)均匀电场, 若电场大小随时间变化率为 $dE_0 / dt = 10V \cdot m^{-1} \cdot s^{-1}$ 则其位移电流密度的大小为 $8.85 \times 10^{-11} A/m^2$, 单位为 A/m^2 .

3. 将充满电的平行板电容器通过电阻 R 放电, 此时两极板间电场强度的大小为 $E = E_0 e^{-t/RC}$, 式中 E_0 、 R 、 C 均为常数, 则两板间的位移电流密度的大小为 $\frac{\epsilon_0 E_0}{RC} e^{-t/RC}$, 其方向与

场强方向 相反.

4. 在没有自由电荷与传导电流的变化电磁场中:

$$\oint_L \vec{H} \cdot d\vec{l} = \int \frac{\partial \vec{B}}{\partial t} \cdot d\vec{S};$$

$$\oint_L \vec{E} \cdot d\vec{l} = - \int \frac{\partial \vec{B}}{\partial t} \cdot d\vec{S};$$

5. 反映电磁场基本性质和规律的积分形式的麦克斯韦方程组为

$$\oint_S \vec{D} \cdot d\vec{S} = \int_V \rho dV, \quad (1)$$

$$\oint_L \vec{E} \cdot d\vec{l} = - \int_S \frac{\partial \vec{B}}{\partial t} \cdot d\vec{S}, \quad (2)$$

$$\oint_S \vec{B} \cdot d\vec{S} = 0, \quad (3)$$

$$\oint_L \vec{H} \cdot d\vec{l} = \int_S (\vec{J} + \frac{\partial \vec{D}}{\partial t}) \cdot d\vec{S}, \quad (4)$$

试判断下列结论是包含于或等效于哪一个麦克斯韦方程的:

- (1) 变化的磁场一定伴随有电场: ②; (2) 磁感线是无头无尾的: ③ (3) 电荷总伴随有电场: ①.